

Г. Д. ЗАКУМБАЕВА, А. Р. БРОДСКИЙ, А. К. ЖУМАБЕКОВА,  
А. Д. ГАЗИЗОВА, В. И. ЯСКЕВИЧ, Л. В. КОМАШКО

## ВЛИЯНИЕ МОЛИБДЕНА НА СВОЙСТВА ЖЕЛЕЗО-ПЛАТИНОВЫХ НАНЕСЕННЫХ КАТАЛИЗАТОРОВ

Комплексом различных методов изучены структура и каталитические свойства цеолитсодержащих катализаторов КТЖ-17 и КТЖ-18. Показано влияние молибдена, вводимого в состав катализаторов гидроочистки от серы, на направление превращения *n*-октана. Изменение свойств катализаторов связано с образованием небольших агрегатов MoO<sub>2</sub> и наноразмерных фаз, содержащих Pt, Mo, Fe. Введение молибдена усиливает гидрокрекинг *n*-октана по >C–C<-связи.

Катализаторы гидропереработки нефтепродуктов в своем составе содержат молибден или вольфрам, которые участвуют в процессах гидроочистки от серы и азота [1–4].

В работах [1,2] рассмотрены свойства цеолитсодержащего катализатора, содержащего никель и молибден, в процессах переработки прямогонного бензина и дизельных фракций нефти. Показано, что глубина очистки от серы прямогонного бензина растет с температурой от 34,4% (320 °C) до 92,2% (400 °C). При гидропереработке 380 °C (P=2 МПа) содержание серы снижается от 0,16 до 0,031%. Наночастицы NiMo и CoMo, локализованные на концах углеродных нановолокон, проявляют вы-

сокую активность в реакции гидрогенолиза тио-  
|Σ◊|□ 300 °C (P=2 МПа). Их активность сопоставима с активностью сульфидного катализатора NiMo/Сибунит [3]. Вопрос о роли молибдена в реакциях превращения *n*-алканов и других углеводородов, входящих в состав нефтяного сырья, мало изучен.

Целью работы является выяснение влияния молибдена на состав и структуру цеолитсодержащих Fe-Pt/Al<sub>2</sub>O<sub>3</sub>-катализаторов, а также определение его роли в процессе превращения *n*-октана.

### ЭКСПЕРИМЕНТАЛЬНАЯ ЧАСТЬ

Катализатор КТЖ-17 готовили пропиткой смеси Al(OH)<sub>3</sub>+HZSM водными растворами со-

лей  $\text{Fe}(\text{NO}_3)_3 \cdot 9\text{H}_2\text{O}$ ,  $(\text{NH}_4)_6\text{Mo}_7\text{O}_{24} \cdot 4\text{H}_2\text{O}$ ,  $\text{H}_2\text{PtCl}_6 \cdot 6\text{H}_2\text{O}$  и др. Катализатор КТЖ-18 содержит все перечисленные предшественники, кроме соли молибдена. Влажные образцы формовали в виде  $\Theta \otimes \mathbb{L}, \mathcal{O} \cup \square$  при  $100-250^\circ\text{C}$  (5 ч) и прокаливали при  $500^\circ\text{C}$  (5 ч). Катализаторы исследовали физико-химическими методами (ЭМ, РФА, БЭТ, ИКС, ЯГРС и др.).

В качестве модельного алкана был использован *n*-октан, превращение которого на синтезированных катализаторах изучено при 2 МПа, отношении  $\text{H}_2/\text{сырье} = 200$ , объемной скорости подачи сырья 5 ч<sup>-1</sup> и варьировании температуры  $300-400^\circ\text{C}$ . Состав продуктов реакции анализировали на хроматографе «Chrom-4» с колонкой из нержавеющей стали, заполненной  $\gamma$ -оксидом алюминия фирмы «Supelco» (газ-носитель – аргон).

## РЕЗУЛЬТАТЫ И ИХ ОБСУЖДЕНИЕ

Поверхность синтезированных катализаторов, измеренная по методу БЭТ, составляет  $192,5 \text{ м}^2/\text{г}$  (КТЖ-17) и  $222,7 \text{ м}^2/\text{г}$  (КТЖ-18), суммарный объем пор соответственно равен 316,4 и 304,7 мл/г.

Электронно-микроскопическим методом (увеличение 120 000) в катализаторе КТЖ-17 обнаружены большие скопления рыхлых частиц размером 80–100 Å, микродифракция которых показывает образование фазы  $\beta\text{-Pt}_3\text{Mo}$  (ICPDS, 17-719).

На рис.1 представлено обширное скопление рыхлых частиц размером 80–100 Å фазы  $\beta\text{-Pt}_3\text{Mo}$

(а) и плотный агрегат из дисперсных частиц размером 50–60 Å (б). Согласно данным микродифракции частицы имеют близкие наборы межплоскостных расстояний, соответствующие нескольким фазам Pt-Fe: PtFe – tetraferroplatinum (ICPDS, 26-1139); (Pt, Fe) – platinum, ferroan (ICPDS, 29-717, 29-718);  $\text{Pt}_3\text{Fe}$  – isoferroplatinum (ICPDS, 29-716). В КТЖ-18 наблюдаются скопления крупных кристаллов Pt с признаками огранки на гладкой поверхности цеолитного компонента носителя (рис.1, в).

Кроме того, в КТЖ-17 присутствуют небольшие агрегаты частиц ( $d = 100-300 \text{ \AA}$ ) с признаками прямоугольного мотива огранки. Микродифракционная картина представлена симметричными рефлексами и может быть отнесена к фазе  $\text{MoO}_2$  (ICPDS, 32-671).

С помощью мессбауэровской спектроскопии был изучен генезис катализаторов. Изомерные сдвиги (IS) приведены относительно  $\alpha\text{-Fe}$ .

Спектры исходных систем (КТЖ-17, КТЖ-18) представляют собой суперпозицию двух дублетов, отвечающих высокоспиновым состояниям  $\text{Fe}_1^{3+}$  и  $\text{Fe}_2^{3+}$ . Эти состояния в обеих системах имеют близкие изомерные сдвиги ( $\sim 0,30-0,31 \text{ мм/с}$ ), но отличаются величинами квадрупольных расщеплений (QS). Система КТЖ-17: для  $\text{Fe}_1^{3+}$  QS равно  $\sim 1,40 \text{ мм/с}$ , для  $\text{Fe}_2^{3+} \sim 0,85 \text{ мм/с}$ , система КТЖ-18: для  $\text{Fe}_1^{3+}$  QS  $\sim 1,59 \text{ мм/с}$ , для  $\text{Fe}_2^{3+} \sim 0,95 \text{ мм/с}$ . Формы с большим квадрупольным расщеплением могут быть отнесены к ионам железа, расположенным ближе к поверхности носителя. Соотношение  $\text{Fe}_1^{3+}/\text{Fe}_2^{3+} \sim 2/3$ . Посколь-

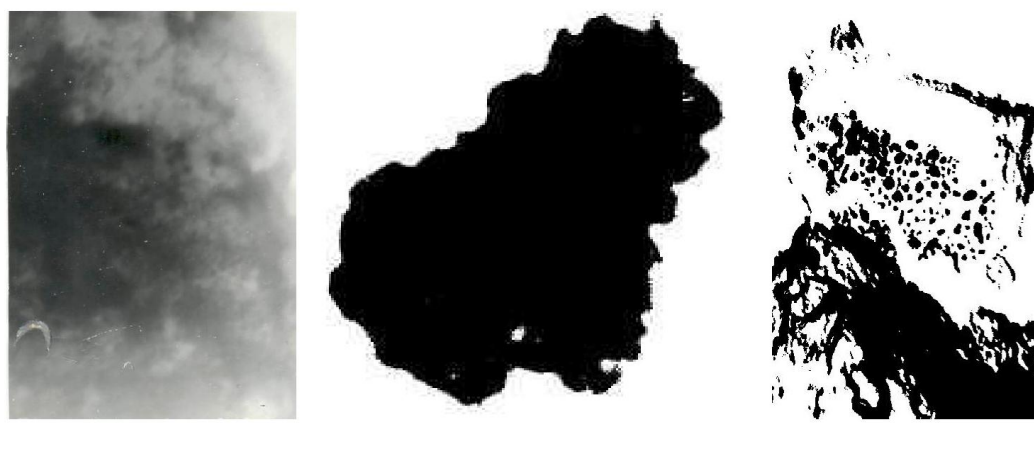


Рис.1. КТЖ-17. а – обширное скопление рыхлых частиц размером 80–100 Å фазы  $\beta\text{-Pt}_3\text{Mo}$ ; б – плотный агрегат из дисперсных частиц 50–60 Å фаз Pt-Fe, КТЖ-18; в – скопление крупных (более 200 Å) кристаллов Pt с признаками огранки на поверхности цеолитной компоненты носителя

ку ширина линий, отвечающая этим состояниям велика ( $0,6\text{--}0,8$  мм/с), можно полагать, что эти формы представляют собой набор близких состояний с примерно одинаковым изомерным сдвигом и несколько отличающимися квадрупольными расщеплениями из-за различий в окружении железа.

На воздухе с ростом температуры происходит доплеровское уменьшение величины изомерного сдвига, квадрупольное расщепление в КТЖ-17 не меняется, а в КТЖ-18 возрастает до  $\sim 1,70\text{--}1,74$  мм/с.

Замена атмосферы воздуха (аргона) на водород при  $100^{\circ}\text{C}$  к восстановлению железа. При этой температуре в системе содержится до 3%  $\text{Fe}^{2+}$ , в КТЖ-18 форма  $\text{Fe}^{2+}$  не наблюдается. Повышение температуры активизирует процесс восстановления железа. При  $200^{\circ}\text{C}$  в КТЖ-17 присутствует уже  $\sim 27\%$   $\text{Fe}^{2+}$ , а в КТЖ-18  $\sim 18\%$ , и оно находится в двух состояниях, по-видимому, отвечающих двум состояниям исходных форм  $\text{Fe}^{3+}$ .

При  $400^{\circ}\text{C}$  в системах остается только одна форма  $\text{Fe}^{3+}$ , видимо, более глубоко расположенная, и две формы  $\text{Fe}^{2+}$ . При  $500^{\circ}\text{C}$  по спектрам систем можно установить присутствие только этих двух форм  $\text{Fe}^{2+}$ .

Понижение температуры в водородной атмосфере вплоть до  $100^{\circ}\text{C}$  не приводит к появлению новых форм железа в спектрах систем. Однако обращает на себя внимание перераспределение интенсивностей сигналов от форм  $\text{Fe}^{2+}$ . С понижением температуры интенсивность сигнала форм с большим квадрупольным расщеплением растет, что можно связать либо с сильной температурной зависимостью вероятности эффекта для этих форм (из-за сравнительно слабого взаимодействия форм  $\text{Fe}_1^{2+}$  с носителем, поскольку предполагается, что именно они расположены ближе к поверхности), либо с увеличением их относительного содержания за счет миграционных процессов, что менее вероятно.

При  $20^{\circ}\text{C}$  в КТЖ-17 кроме форм  $\text{Fe}^{2+}$  появляется еще одна форма железа с относительным содержанием  $\sim 16\%$  и мессбауэровскими параметрами  $IS \sim 0,33$  мм/с и  $QS \sim 1,13$  мм/с, аналогичными тем, которые наблюдались в работах [5–8] для фаз (кластеров)  $\text{Fe-Pt}$ ,  $\text{Fe-Pd}$ ,  $\text{Fe-Rh}$ , расположенных в приповерхностных слоях носителя. В КТЖ-18 подобной формы железа не отмечается.

После замены атмосферы водорода на воздух при  $20^{\circ}\text{C}$  КТЖ-17 содержит две формы  $\text{Fe}^{3+}$  и две формы  $\text{Fe}^{2+}$ , фаза  $\text{Fe-Pt}$  пропадает.

Спектр системы КТЖ-17, прокаленной при  $500^{\circ}\text{C}$  на воздухе в течение часа и снятый при  $293\text{ K}$ , представляет собой суперпозицию двух дуплетов, соответствующих двум состояниям  $\text{Fe}^{3+}$ , аналогично тому, как это наблюдалось для исходного состояния системы. В системе КТЖ-18, обработанной в тех же условиях, кроме упомянутых состояний  $\text{Fe}^{3+}$  остается до 11%  $\text{Fe}^{2+}$ . Необходимо отметить, что наблюдаемые значения квадрупольных расщеплений форм  $\text{Fe}^{3+}$  существенно больше, чем для исходных состояний обеих систем, до начала цикла восстановления.

После прокалки систем на воздухе при  $500^{\circ}\text{C}$  при температуре  $20^{\circ}\text{C}$  в них подавался водород. При этом в КТЖ-17 происходило частичное восстановление и помимо форм  $\text{Fe}^{3+}$  наблюдалось  $\sim 19\%$   $\text{Fe}^{2+}$ . В работах [5–8] именно такое поведение систем, т.е. способность к восстановлению при комнатной температуре, считалось неоспоримым доказательством присутствия в них фаз (кластеров)  $\text{Fe-Pt}$ ,  $\text{Fe-Pd}$ ,  $\text{Fe-Rh}$ . Обращает на себя внимание очень хорошее количественное соответствие относительного содержания фазы  $\text{Fe-Pt}$  при  $20^{\circ}\text{C}$  после снижения температуры с  $500^{\circ}\text{C}$  в атмосфере водорода и относительного содержания фазы  $\text{Fe-Pt}$  после восстановления водородом при комнатной температуре системы, прокаленной на воздухе при  $773\text{K}$  (19 и 16% соответственно).

После подачи водорода при  $20^{\circ}\text{C}$  в систему КТЖ-18 ее состав не менялся. Однако при  $100^{\circ}\text{C}$  восстановление наблюдалось, и система содержала до 18%  $\text{Fe}^{2+}$ . При  $200^{\circ}\text{C}$  форм  $\text{Fe}^{2+}$  было уже более 60%, тогда как при восстановлении исходного состояния КТЖ-18 было обнаружено только  $\sim 18\%$ .

Сопоставляя системы КТЖ-17 и КТЖ-18, можно заключить, что присутствие Mo в КТЖ-17 способствует образованию приповерхностных платиносодержащих фаз как с железом, так и с молибденом. Напротив, в КТЖ-18 такие фазы не наблюдаются. Однако, поскольку при повторной подаче водорода восстановительные процессы в КТЖ-18 существенно облегчаются, а мессбауэровские параметры образующихся форм  $\text{Fe}^{2+}$  близки к параметрам соответствующих форм системы КТЖ-17, обработанной в аналогичных условиях (табл. 1), можно заключить, что в КТЖ-

18 также возможно образование фаз Fe-Pt, но более глубоко локализованных, например в пустотах композитного носителя.

В пользу такого рода представлений в определенной степени свидетельствуют данные исследования поверхности, из которых следует, что поверхность КТЖ-17 существенно меньше поверхности КТЖ-18, возможно, именно из-за ее частичного заполнения поверхностными фазами Pt-Fe и Pt-Mo. Между тем суммарный объем пор

в КТЖ-18 меньше, чем в КТЖ-17, что может быть связано с локализацией фаз Fe-Pt именно в порах композитного носителя.

Катализитические свойства КТЖ-17 и КТЖ-18 были исследованы в реакции превращения *n*-октана. На рис. 3 представлены данные о влиянии температуры на конверсию *n*-октана, а также выход изоалканов C<sub>5</sub>–C<sub>8</sub> и легких углеводородов C<sub>1</sub>–C<sub>4</sub>. Как видно из рис. 3 (кр. 1,2), конверсия *n*-октана в области температур 380–400 °C не за-

Таблица 1. Мессбауэровские параметры и относительное содержание форм Fe<sup>2+</sup> в КТЖ-17 и КТЖ-18 после повторного восстановления водородом при 200 °C

| Система | Fe <sub>1</sub> <sup>2+</sup> |          |      | Fe <sub>2</sub> <sup>2+</sup> |          |      |
|---------|-------------------------------|----------|------|-------------------------------|----------|------|
|         | IS, мм/с                      | QS, мм/с | S, % | IS, мм/с                      | QS, мм/с | S, % |
| КТЖ-17  | 0,94                          | 1,95     | 64   | 0,85                          | 1,21     | 36   |
| КТЖ-18  | 0,94                          | 1,98     | 42   | 0,90                          | 1,26     | 22   |

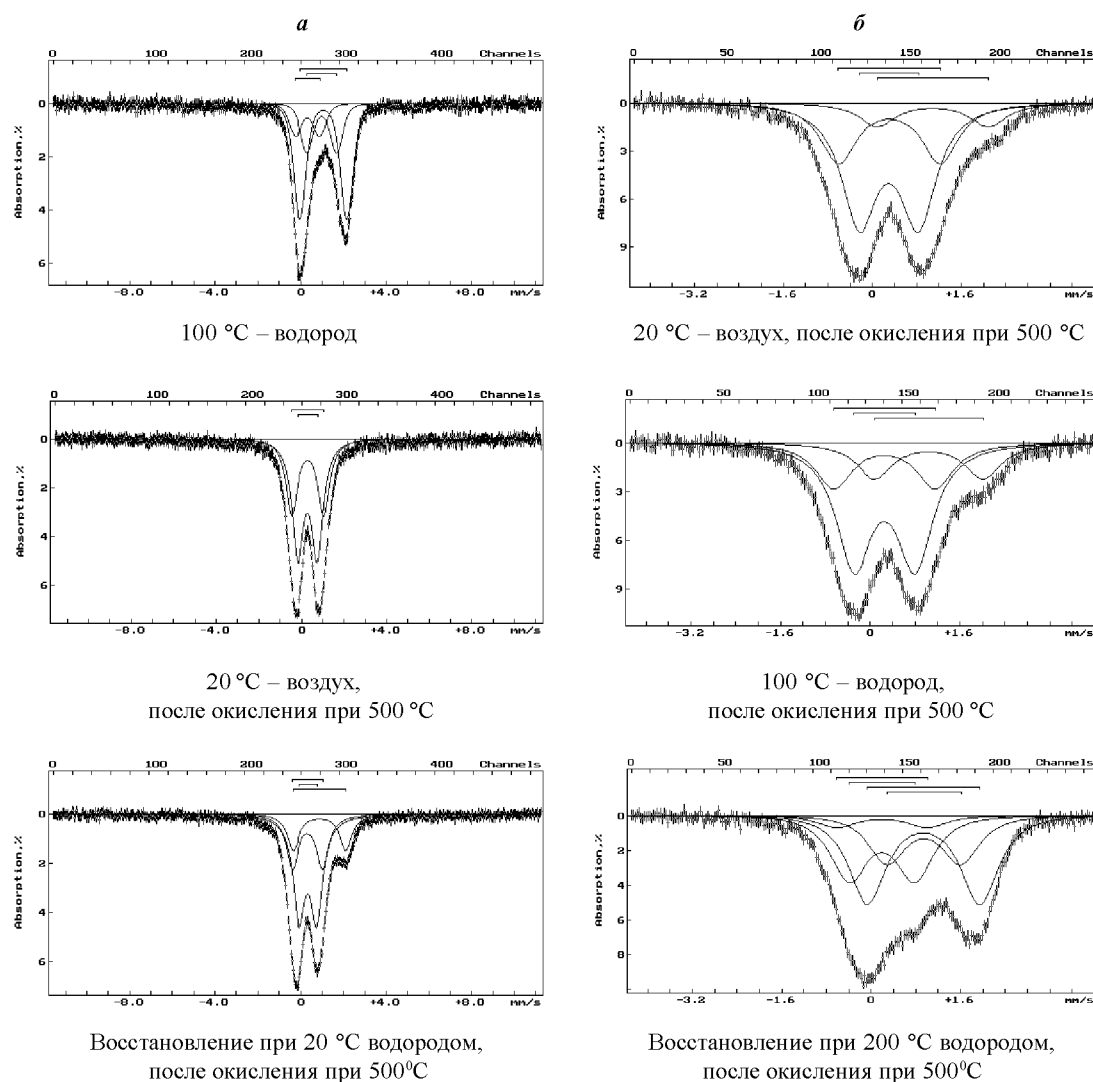


Рис. 2. Мессбауэровские спектры систем КТЖ-17 (а) и КТЖ-18 (б), полученные в различных условиях

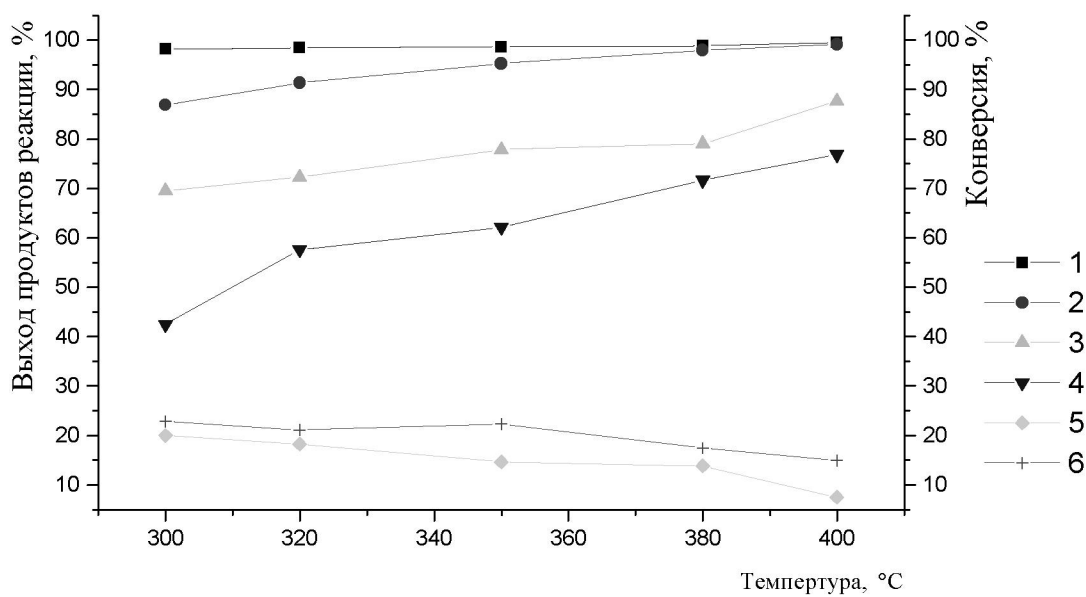


Рис.3. Влияние температуры на превращение *n*-октанана на катализаторах КТЖ-17, КТЖ-18 ( $P=2$  МПа,  $V_{об}=5$  ч<sup>-1</sup>,  $H_2$ :сырье=200:1). 1,2 – конверсия *n*-октанана на КТЖ-17 и КТЖ-18 соответственно; 3,4 – выход  $C_1$ – $C_4$ -алканов; 5,6 – выход изоалканов  $C_5$ – $C_8$

висит от состава катализатора, но при более мягких условиях положительное влияние молибдена на активность катализатора КТЖ-17 ярко выражено: при 300 °C степень конверсии *n*-октанана при переходе от катализатора КТЖ-17 к КТЖ-18 снижается от 98,2 до 86,9%. Выход легких  $C_1$ – $C_4$ -углеводородов в этих условиях составляет 69,6% (КТЖ-17) и 42,5% (КТЖ-18). Процесс гидрокрекинга *n*-октанана с образованием легких  $C_1$ – $C_4$ -алканов на КТЖ-18 (см. рис. 3, кр. 4), не содержащем добавки молибдена, протекает в существенно меньшей степени в интервале 300–400 °C. Хроматографически в легкой фракции обнаружены

$C_1$ – $C_4$ -алканы, а также этилен, пропилен и изобутан.

Присутствие молибдена в катализаторе (см. рис. 3, кр. 5) снижает выход изоалканов  $C_5$ – $C_8$  по сравнению с катализатором КТЖ-18. В оптимальных условиях (300 °C,  $P = 2$  МПа,  $V_{об} = 5$  ч<sup>-1</sup>) выход изоалканов  $C_5$ – $C_8$  при переходе от катализатора КТЖ-17 к КТЖ-18 возрастает от 20,1 до 22,9%. Эта закономерность прослеживается во всем изученном температурном интервале (см. рис. 3, кр. 5, 6). Присутствие олефинов  $C_2$ – $C_3$  в продуктах реакции позволяет сделать вывод об их участии в процессах алкилирования изо-

Таблица 2. Влияние природы катализатора на состав продуктов реакции гидропревращения *n*-октанана ( $P = 2$  МПа,  $V_{об} = 5$  ч<sup>-1</sup>, отношение  $H_2$ /сырье = 200)

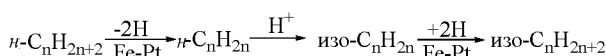
| Выход продуктов, %                   | Температура процесса, °C |      |      |      |      | Катализатор |
|--------------------------------------|--------------------------|------|------|------|------|-------------|
|                                      | 300                      | 320  | 350  | 380  | 400  |             |
| Конверсия                            | 98,2                     | 98,5 | 98,7 | 98,9 | 99,5 | КТЖ-17      |
| $\Sigma$ изоалканов $C_5$ – $C_8$    | 20,1                     | 18,3 | 14,7 | 13,9 | 7,6  |             |
| $\Sigma C_1$ – $C_4$                 | 69,6                     | 72,3 | 77,9 | 79,1 | 87,7 |             |
| $\Sigma n$ -алканов $C_5$ – $C_7$    | 8,1                      | 7,6  | 5,2  | 4,5  | 3,4  |             |
| $\Sigma$ ароматических углеводородов | 0,4                      | 0,3  | 0,9  | 1,4  | 0,8  |             |
| Исходный <i>n</i> -октан             | 1,8                      | 1,5  | 1,3  | 1,1  | 0,5  |             |
| Конверсия                            | 86,9                     | 91,4 | 95,3 | 98,0 | 99,2 | КТЖ-18      |
| $\Sigma$ изоалканов $C_5$ – $C_8$    | 22,9                     | 21,2 | 22,4 | 17,5 | 15,0 |             |
| $\Sigma C_1$ – $C_4$                 | 42,5                     | 57,6 | 62,2 | 71,7 | 76,9 |             |
| $\Sigma n$ -алканов $C_5$ – $C_7$    | 21,5                     | 12,6 | 10,5 | 8,0  | 6,5  |             |
| $\Sigma$ ароматических углеводородов | -                        | -    | 0,2  | 0,8  | 0,8  |             |
| Исходный <i>n</i> -октан             | 13,1                     | 8,6  | 4,7  | 2,0  | 0,8  |             |

алканов и бензола. В последнем случае наряду с бензолом среди ароматических углеводородов определены толуол и ксиолы.

В табл. 2 приведены результаты исследования влияния природы катализатора на конверсию *n*-октана и состав продуктов реакции. Как видно, процесс превращения *n*-октана идет одновременно и последовательно по нескольким направлениям: гидрокрекинг, изомеризация, алкилирование, дегидроциклизация с образованием ароматических углеводородов. Сравнительный анализ выхода ароматических углеводородов при конверсии *n*-октана на двух катализаторах показывает, что в отсутствии молибдена (КТЖ-18) дегидроциклизация начинает протекать только в области высоких температур (350–400 °C), тогда как на КТЖ-17 образование их прослеживается в широких пределах (300–400 °C).

Наблюдаемые различия в поведении катализаторов КТЖ-17 и КТЖ-18 связаны с влиянием молибдена. В одинаковых условиях структуры КТЖ-17 и КТЖ-18 существенно отличаются. Можно полагать, что в КТЖ-17 молибден отвечает не только за гидрокрекинг серосодержащих соединений, но и за разрыв связей >C-C< в *n*-алканах с образованием легких углеводородов с меньшим молекулярным весом.

Таким образом, исходя из полученных результатов можно определить механизм реакции. На кислотных центрах, содержащих в своем составе структуры молибдена, протекает гидрокрекинг *n*-октана с образованием C<sub>1</sub>–C<sub>4</sub>- и C<sub>4</sub>–C<sub>7</sub>-алканов. Присутствие олефинов C<sub>2</sub>–C<sub>3</sub> и изоалканов можно связать с процессами дегидрирования, изомеризации *n*-октана и его фрагментов на Pt- и Fe-Pt-центрах. Легкие олефины участвуют в процессах алкилирования изоалканов и бензола. Непредельные поверхностные активированные структуры на платиносодержащих центрах гидрируются до *n*- и изоалканов. Механизм реакции гидро-дегидрирования и изомеризации можно представить в виде схемы [9]:



Образование изоалканов C<sub>5</sub>–C<sub>8</sub> показывает, что дегидрирование, изомеризация и гидрирование протекают на активных центрах, представляющих собой Fe-Pt-кластеры, связанные со структурой цеолита. Глубокий гидрокрекинг в основном идет с участием активных центров, где локализованы структуры, связанные с молибденом.

## ЛИТЕРАТУРА

1. Закумбаева Г.Д., Газизова А.Д., Данилов А.В. // Нефтепереработка и нефтехимия. 2005, №12. С.16-18.
2. Закумбаева Г.Д., Газизова А.Д., Данилов А.В. // Изв. НАН РК. Сер. хим. 2005. №6. С. 17-23.
3. Шалагина А.Е., Ушаков В.А., Чувилдин А.Л., Старцев А.Н., Исмагилов З.Р. // Материалы конференции «Молекулярный дизайн в приготовлении и исследовании нанесенных катализаторов» Омск: РАН. 2005. С. 194-196.
4. Ищенко Е.В., Андрушкевич Т.В., Попова Г.Я., Плясов А.М., Чесалов Ю.А. // Там же. С. 124-126.
5. Bartholomew C.H. and Boudart M. // J.Catal. 1973. V. 29, N2. P.278-291.
6. Garten R.L. Direct Evidence for Bimetallic Clusters // J. Catal. 1976. V.43, N 1. P.18-33.
7. Dezsi I., Nagy D.L., Eszterle M. and Guczi L. Characterization of Silica Supported PtFe Catalysts by Mossbauer Spectroscopy // Reakt. Kinet. Catal. Lett. 1978. V. 8, N 3. P. 301-307.
8. Guczi L. Structure and Catalytic Properties of Iron-Containing Bimetallic Catalysts // Catal. Rev.-Sci. Eng. 1981. V. 23, N 3. P. 329-376.
9. Харламов В.В. Гидрирование и изомеризация углеводородов на цеолитных катализаторах // Нефтехимия. 1998. Т. 38, №6. С. 439-457.

## Резюме

Әртүрлі әдістерді пайдалана отырып КТЖ-17 және КТЖ-18 цеолитті катализаторларының каталитикалық қасиеттері мен құрылымы зерттелді. Құқірттен гидратазалау катализаторларының құрамына енгізілген молибденнің әсері көрсетілген. Катализатор қасиеттің өзгеруі наноқұрылымды Fe<sub>2</sub>Mo, Fe-Pt кластерлерінің және аз мөлшерде MoO<sub>2</sub> агрегаттарының түзілүмен байланысты. Молибденді енгізу >C-C< байланыстары бойынша *n*-октан гидрокрекингін күтпейтеді.

*Институт органического катализа  
и электрохимии им. Д.В.Сокольского МОН РК,  
г. Алматы*

Поступила 28.02.2006 г.